

окружности диам. ок. 600 м; работает в диапазоне длин волн от 8 мм до 30 см; разрешение достигает 7" при длине волны 1,35 см. Неровности поверхности не превышают 0,35 мм. Радиотелескоп может работать одновременно по нескольким научным программам: регулярные наблюдения начались в июле 1974, проводятся наблюдения Солнца, планет и их спутников, Галактики и Метагалактики, осуществляются обзоры неба.

*Лит.: Хайкин С. Э. и др., Большой пулковский радиотелескоп, «Изв. ГАО АН СССР», 1960, т. 21, в. 5, № 164; Есепкина Н. А., Корольков Д. В., Парицкий Ю. Н., Радиотелескопы и радиометры, М., 1973; Брауде Б. В. и др., Использование космических источников радиоизлучения для исследования характеристик радиотелескона РАТАН-600, «Радиотехн. и электроника», 1981, т. 26, № 7; Коголиков Д. В., Ратгиский Ю. Н., The Soviet RATAN-600 radiotelescope, «Sky and Telescope», 1979, v. 57, № 4.*

*Н. А. Есепкина.*

**АНТЕННА РАДИОТЕЛЕСКОПА** — устройство для сбора радиоизлучения космич. объектов. А. р. определяет его чувствительность (минимально обнаружимый сигнал) и угловое разрешение (способность разделить излучение близких друг к другу радиоисточников). Мощность принимаемого сигнала от радиоисточника с плотностью потока радиоизлучения  $F$  равна  $0,5 AF$ , где  $A$  — эф. площадь антенны, коэф. 0,5 определяется тем, что принимается лишь одна из поляризаций. Минимально обнаружимый сигнал  $\delta F = 2kT_{\text{ш}}/AV\tau\Delta f$  зависит от величины  $A$ , шумовой температуры радиотелескона  $T_{\text{ш}}$  и радиометрич. выигрыша  $V\tau\Delta f$ ; здесь  $\Delta f$  — полоса частот принимаемого сигнала,  $\tau$  — время наблюдения источника,  $k$  — постоянная Больцмана. Шумовая темп-ра радиотелескопа  $T_{\text{ш}} = T_{\text{шв}} + T_{\text{шр}}$  определяется шумовой темп-рой антенны  $T_{\text{шв}}$  и шумовой темп-рой радиометра  $T_{\text{шр}}$ . Шумовая темп-ра антенны зависит от доли потерь в аントенно-фильтрном тракте  $\eta$  и вклада радиоизлучения Земли и атмосферы через боковые лепестки диаграммы направленности (ДН) антенны:  $T_{\text{шв}} = \eta T_0 + (1 - \eta) \int (T_3 + T_{\text{ат}} + T_{\phi}) D d\Omega / \int D d\Omega$ , где  $T_0$  — темп-ра окружающей среды,  $T_3$  — темп-ра Земли,  $T_{\text{ат}}$  — эф. темп-ра атмосферы,  $T_{\phi}$  — темп-ра фона космич. радиоизлучения,  $D$  — диаграмма направленности А. р. по мощности. Шумы антенны уменьшают при помощи снижения потерь  $\eta$ , охлаждения тракта (понижения  $T_0$ ) и спец. облучения А. р. (снижения вклада шумов Земли). Угловое разрешение антенны  $\varphi_a$  определяется её ДН, ширина к-рой зависит от размеров антенны  $d$  и длины волны  $\lambda$ :  $\varphi_a \sim \lambda/d$ .

В табл. на с. 102 приведены наиб. характеристики А. р. и их ДН; там же указана чувствительность антенн к пространственным частотам. Конструктивное исполнение антенн существенно зависит от диапазона длин волн и назначения.

**Антенные зеркального типа.** Осн. элементом антенн этого типа является зеркало, к-рое собирает падающее на него излучение в фокальной точке (параболич. зеркало) либо на фокальной линии (параболич. цилиндр, сферич. зеркало). В фокусе устанавливается облучатель в виде рупора либо цепочки диполей. ДН облучателя формируется так, чтобы облучить всё зеркало (собрать с него всю энергию), но исключить облучение пространства вне сго. Этим достигаются макс. использование поверхности зеркала  $A$  и миним. уровень шумов  $T_{\text{шв}}$ . Для исключения искажения фронта отражённой волны неровности поверхности зеркала не должны превышать  $\lambda/20$ . Форма поверхности зеркала должна сохраняться в этих пределах при разных темп-рах, ветровых нагрузках и положении антennы. Эти требования ограничивают размеры зеркал, миним. длину волны и определяют их стоимость, поэтому первые крупные антенны зеркального типа были неподвижными или полуподвижными. Оптимизация параметров радиотелескопов привела к ряду конструктивных решений — созданию зеркальных антенн разных типов и классов. Наиб. распространение получили параболич. зеркала.

Антennы с параболическими зеркалами. Первые антennы этого типа были неподвижными (напр., 32-м «земляные чаши» Крымской радиоастр. станции ФИАН, нач. 1950-х гг.) или устанавливались на поворотном устройстве, позволяющем изменять положение антennы лишь по углу места (90-м

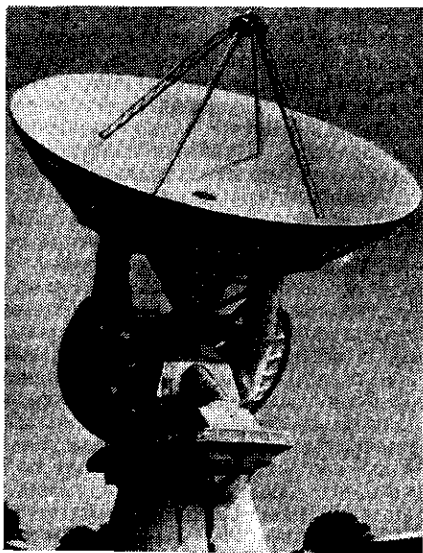


Рис. 1. RT-43 — наиболее крупный радиотелескоп с экваториальной подвеской 43-м параболического зеркала. США, Национальная радиоастрономическая обсерватория, Грин-Бэнк.

антенна в Грин-Бэнк, США). Перестановка электрич. оси антennы в пределах нееск. ДН осуществлялась изменением положения облучателя. В Грин-Бэнк для поворота электрич. оси антennы по азимуту (прямому восхождению) смещают в соотв. направлении облучатель. На Крымской радиоастр. станции облучатель установлен на каретке, обеспечивающей его перестановку в фокальной плоскости в двух направлениях.

Первые полноповоротные радиотелескопы имели традиц. монтировку оптич. телескопов — экваториальное

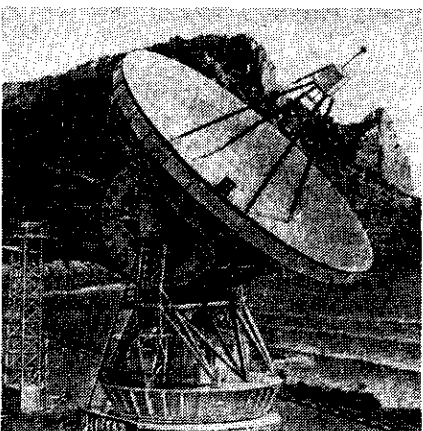


Рис. 2. RT-22 — пресцизионный радиотелескоп с азимут-угломестной монтировкой 22-м параболического зеркала. Крымская астрофизическая обсерватория, Симеиз.

поворотное устройство, обеспечивающее установку антennы в заданном направлении по прямому восхождению и склонению (рис. 1). Компенсация вращения Земли (слежение за источником) осуществлялась равномерным вращением инструмента вокруг оси прямого восхождения, устанавливаемой параллельно оси враще-